



# Série Temporais de Compressores: Análise de Modelos ODEJump Attention + TSDiffusion

Inovação em Geração de Séries Temporais Irregulares e com Dados

Faltantes

CPE883 - Tópicos Especiais em Aprendizado de Máquina

Rodrigo Petrus Domingues ([rodrigopd@petrobras.com.br](mailto:rodrigopd@petrobras.com.br))

14 de setembro de 2025



# Motivação e Objetivo

## 1 Introdução

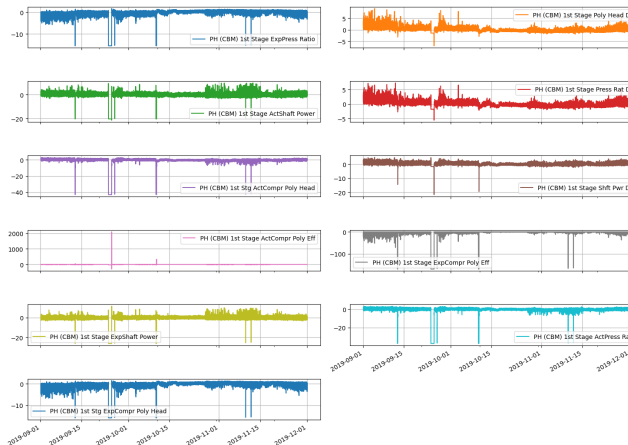
- **Cenário:** Séries temporais industriais (compressores) com **amostragem irregular, dados faltantes e alta dimensionalidade.**
- **Objetivo do trabalho:** avaliar uma arquitetura *Encoder ODEJump + Attention + (reconstrução)* e seu papel em um pipeline maior com *TSDiffusion*[[1](#)].
- **Contribuição prática:** encoder contínuo-discreto (ODE + GRU) que produz estados latentes robustos para dados irregulares e faltantes.
- **Escopo deste código:** implementação do **Encoder ODEJump**, cabeças de saída (reconstrução e missingness), **pipeline de dados**, perdas e **métricas** de avaliação.

# Apresentação da série temporal

## 1 Introdução

- Curvas com anomalias, mas sem base de dados sem classificação.

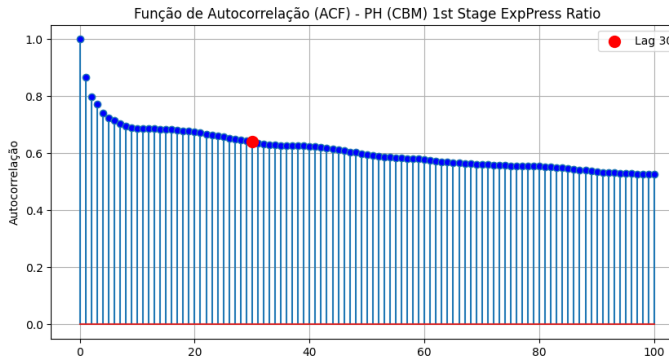
Séries Temporais do Compressor



# Autocorrelação (ACF) com janela de 100 eventos

## 1 Introdução

- ACF (Autocorrelation Function) mede a correlação da série consigo mesma em diferentes atrasos (lags).
- Aqui, consideraremos uma **janela de 100 eventos**, analisando como o sinal se correlaciona até esse limite.
- Indica periodicidade, dependência temporal e “memória” da série.
- Iremos adotar janelamento de **30 eventos** por ser o momento que a série estabiliza em um plateau local.



# O que foi implementado para classificar automaticamente

## 2 Segmentador Não Supervisionado (Multivariado)

- **Suporte multivariado:** entrada  $x \in \mathbb{R}^{T \times C}$ ; janelamento  $X \in \mathbb{R}^{N_w \times w \times C}$ .
- **Features por canal** (concatenadas): média, mediana, desvio, IQR, amplitude, skew, kurtosis, slope OLS, % outliers (MAD), ACF (até  $L$  lags), *bandpowers*.
- **Features cruzadas:** covariâncias e correlações par-a-par (lag 0) entre canais.
- **Escalonamento robusto:** RobustScaler.
- **HMM Gaussiano (diag):** emissões  $\mathcal{N}(\mu_k, \text{diag } \sigma_k^2)$ ;  $\pi$  e  $A$  estocásticas por linha.
- **Treino EM** (log-espaço), inicialização KMeans, critério de tolerância.
- **Decodificação Viterbi:**  $Z_{1:N_w}$ .

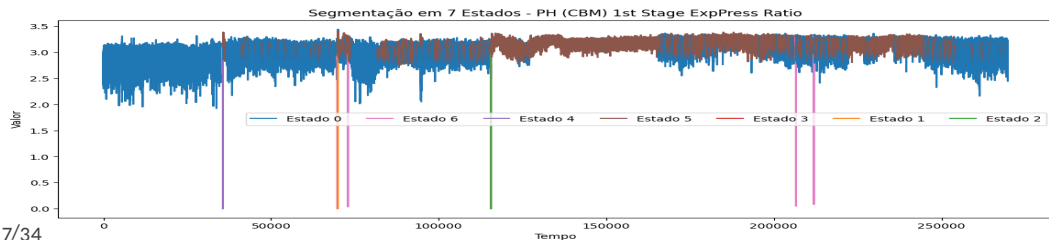
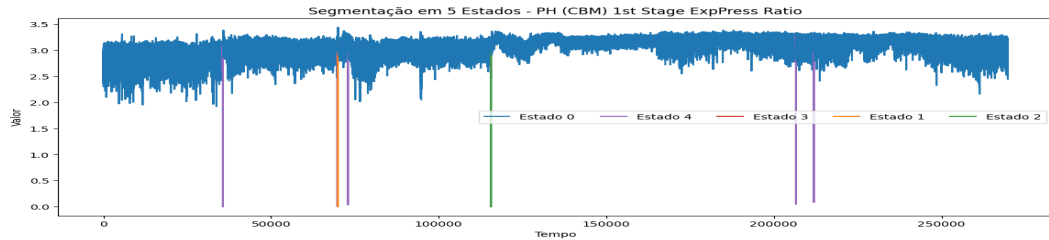
# Pipeline de classificação (etapas)

## 2 Segmentador Não Supervisionado (Multivariado)

1. **Janelamento:**  $(T, )$  ou  $(T, C) \rightarrow X \in \mathbb{R}^{N_w \times w \times c}$ ; guardar índices.
2. **Features:** por canal + cruzadas  $\Rightarrow F \in \mathbb{R}^{N_w \times d}$ .
3. **Escalonamento:**  $F \mapsto F_z$  (RobustScaler).
4. **EM:**
  - Init: KMeans em  $F_z$ .
  - E-step:  $\gamma_{t,k}, \xi_{t,i,j}$  via forward/backward.
  - M-step: atualizar  $\pi, A, \mu_k, \sigma_k^2$ ; monitorar  $\log \mathcal{L}$ .
5. **Decodificação:** Viterbi  $\Rightarrow z_{1:N_w}$  e expansão temporal.

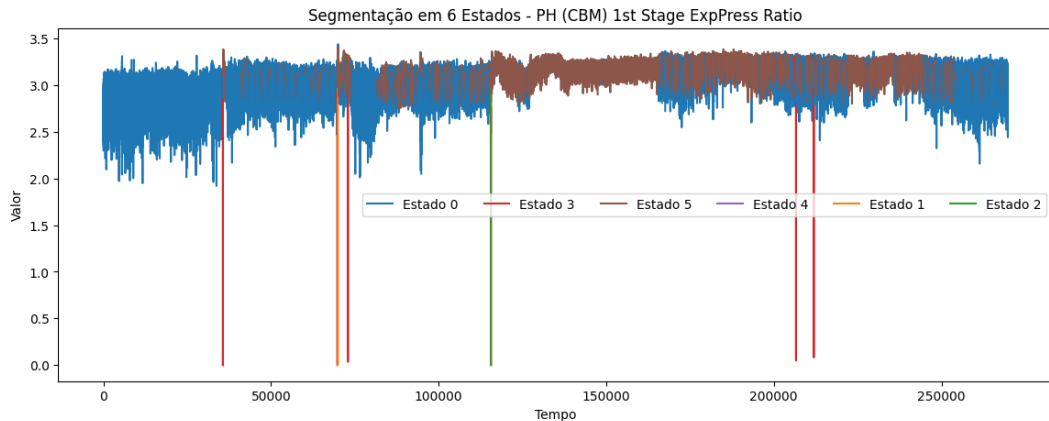
# Resultados da Classificação Não Supervisionada

## 2 Segmentador Não Supervisionado (Multivariado)



# Resultados da Classificação Não Supervisionada

2 Segmentador Não Supervisionado (Multivariado)



# Pré-processamento dos Estados para Treinamento

## 2 Segmentador Não Supervisionado (Multivariado)

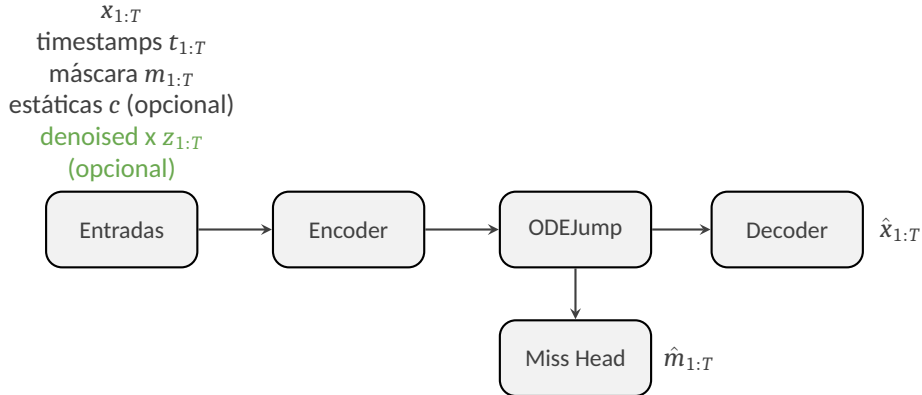
- **Objetivo:** reduzir desbalanceamento entre classes no treinamento do modelo.
- **Agrupamento:**
  - Estados **1, 2, 3 e 4** foram **agregados em um único estado** ( $\tilde{g} = 1$ ).
  - Estados **0 e 5** foram mantidos como classes distintas, preservando sua interpretação original.
- **Resultado:** distribuição final de classes mais equilibrada:

$$\text{Classes finais: } \tilde{g} \in \{0, 1, 5\}$$

- **Impacto no treinamento:**
  - Permite **amostragem estratificada** (WeightedRandomSampler) de forma proporcional.
  - Reduz a dominância de estados raros, estabilizando a convergência da loss.
  - Melhora a capacidade do modelo de aprender padrões robustos para classes minoritárias.

# Pipeline: ODEJump (baseline)

3 Componentes da arquitetura





# Encoder (Embedding)

## 3 Componentes da arquitetura

- Entradas (por timestep):

$$[\tilde{x}_t, \tilde{m}_t] \text{ (ou } [\tilde{x}_t, \tilde{z}_t^{\text{denoised}}, \tilde{m}_t])$$

Obs: a última foto é zerada nos vetores  $x$  e  $z$  e é criada uma nova máscara  $\tilde{m}$ , em que a última foto é substituída por 1.

- MLP por timestep:

$$h_t^{(0)} = \text{ReLU}(W_e \text{ concat}(\cdot) + b_e)$$

- Estáticas (opcional):

$$c \in \mathbb{R}^{D_c} \Rightarrow c_e = \text{ReLU}(W_c c + b_c), \quad h_t = h_t^{(0)} + c_e$$

(broadcast em  $t$ )

- Saída do Encoder:

$$H = [h_1, \dots, h_T] \in \mathbb{R}^{T \times D}$$

# ODEJump (dinâmica contínua + salto discreto)

## 3 Componentes da arquitetura

- **Entrada:** recebe a sequência de estados latentes

$$H^{(0)} = [h_1^{(0)}, \dots, h_T^{(0)}] \quad \text{saída do Encoder.}$$

- **Evolução contínua:** entre eventos, resolve-se a ODE  $\dot{h} = f_\theta(h)$  no espaço latente, integrando de  $t_{i-1}$  até  $t_i$ :

$$h(t) : \dot{h} = f_\theta(h) \quad (\text{MLP sobre } h)$$

- **Aproximação numérica:** usa-se um único passo **RK4** por intervalo  $\Delta t_i = t_i - t_{i-1}$  para obter o estado pré-salto  $\tilde{h}_i$ :

$$k_1 = f_\theta(h_{i-1}), \quad k_2 = f_\theta(h_{i-1} + \frac{\Delta t_i}{2} k_1)$$

$$k_3 = f_\theta(h_{i-1} + \frac{\Delta t_i}{2} k_2), \quad k_4 = f_\theta(h_{i-1} + \Delta t_i k_3)$$

$$\tilde{h}_i = h_{i-1} + \frac{\Delta t_i}{6} (k_1 + 2k_2 + 2k_3 + k_4)$$

- **Por que RK4?** Balanceia custo computacional e estabilidade, dispensando um solver adaptativo completo — suficiente para passos  $\Delta t_i$  típicos.

# ODEJump (dinâmica contínua + salto discreto)

## 3 Componentes da arquitetura

- **Salto discreto:** no instante  $t_i$ , aplica-se uma atualização GRU sobre o estado latente vindo do RK4:

$$h_i = \text{GRUCell}(h_i^{(0)}, \tilde{h}_i)$$

onde  $h_i^{(0)}$  é o embedding do timestep  $i$ .

- **Iteração:** o processo (integração + salto) se repete para todos os  $T$  passos.
- **Saída:** a sequência de estados refinados

$$H = [h_1, \dots, h_T] \in \mathbb{R}^{T \times D}$$



# Decoder e Miss Head

## 3 Componentes da arquitetura

- **Entrada:** recebe a sequência de estados latentes  $H = [h_1, \dots, h_T] \in \mathbb{R}^{T \times D}$ , produzidos pelo ODEJump (ou ODEJump+Transformer).
- **Decoder (Reconstrução):**

$$\hat{x}_t = W_d \text{ReLU}(h_t) + b_d \quad \Rightarrow \quad \hat{X} \in \mathbb{R}^{T \times C}$$

Restaura os sinais nos  $C$  canais observáveis, servindo como reconstrução  $\hat{x}_{1:T}$ .

- **Miss Head (Probabilidade de Observação):**

$$\hat{m}_t = \sigma(W_m h_t + b_m) \quad \Rightarrow \quad \hat{M} \in [0, 1]^{T \times 1}$$

Prediz a probabilidade de cada timestep ser observado, usada na **loss de missingness** para regularização.

# Função de Custo — ODEJump

## 3 Componentes da arquitetura

- **Reconstrução ( $\mathcal{L}_1$ ):** é o erro quadrático médio apenas nos **valores ausentes** de  $x$ :

$$\mathcal{L}_1 = \frac{\sum(1 - m^{\text{train}}) \cdot (x - \hat{x})^2}{\max(\sum(1 - m^{\text{train}}), 1)}$$

onde  $m^{\text{train}} = 1$  apenas para valores *mantidos* no treino.

- **Probabilidade de Observação ( $\mathcal{L}_4$ ):** Binary Cross-Entropy entre máscara verdadeira e predita:

$$\mathcal{L}_4 = -\frac{1}{T} \sum_t [m_t^{\text{true}} \log \hat{m}_t + (1 - m_t^{\text{true}}) \log(1 - \hat{m}_t)]$$

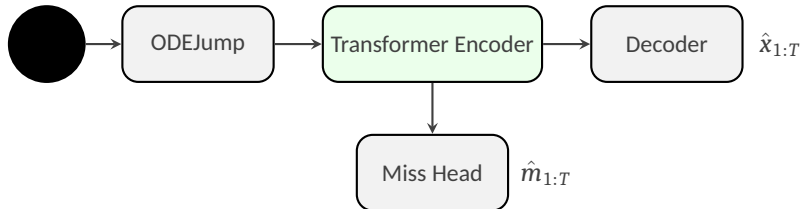
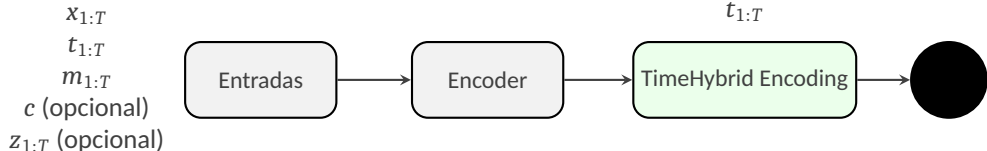
- **Loss total:** combinação ponderada

$$\mathcal{L} = \lambda_1 \mathcal{L}_1 + \lambda_4 \mathcal{L}_4, \quad \lambda_1 + \lambda_4 = 1$$

onde  $\lambda_1 \gg \lambda_4$  (ênfase na reconstrução).

# Pipeline: ODEJump + Transformer

3 Componentes da arquitetura



# TimeHybrid Encoding

## 3 Componentes da arquitetura

- **Objetivo:** enriquecer o estado  $h$  vindo do **Encoder** com uma representação contínua e diferenciável do tempo, para uso no **ODEJump** e na **atenção temporal**.
- **Entrada:** timestamps normalizados

$$t_i^{\text{norm}} = \frac{t_i - t_0}{\text{TS\_SPAN}} \quad \Rightarrow \quad t_i^{\text{norm}} \in [0, 1]$$

- **Codificação híbrida:** combina rampas aprendidas (linear) e codificação senoidal (frequências log):

Para índices ímpares:  $e_i^{\text{ramp}} = a \cdot t_i^{\text{norm}} + b$

Para índices pares:  $e_i^{\text{sin/cos}} = [\sin(\omega_k t_i^{\text{norm}}), \cos(\omega_k t_i^{\text{norm}})]_{k=1}^K$

- **Saída final:** vetor concatenado

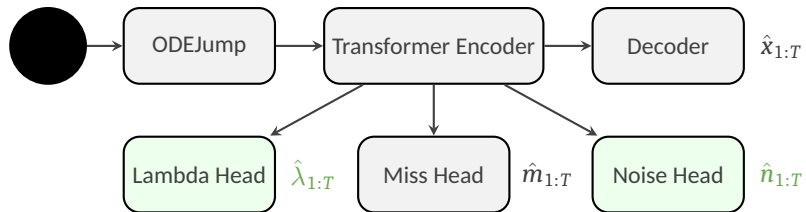
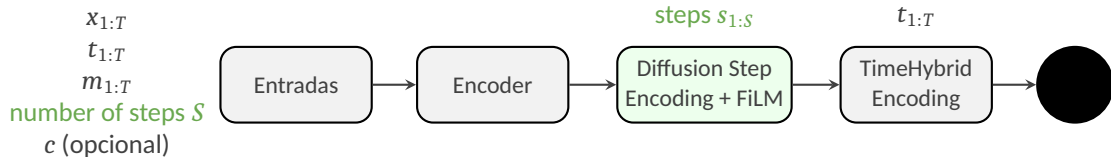
$$e_i^{\text{time}} = \text{concat}(e_i^{\text{ramp}}, e_i^{\text{sin/cos}}) \quad \Rightarrow \quad h_i^{\text{enriquecido}} = h_i + e_i^{\text{time}}$$

- **Uso:**  $h_i^{\text{enriquecido}}$  é passado ao **ODEJump** (para integração contínua) e ao **Transformer Encoder** (atenção sensível ao tempo).

# Pipeline: ODEJump + Transformer + Diffusion

## (TSDiffusion[1](like) como um denoiser gaussiano)

3 Componentes da arquitetura





## Diffusion Step (DDPM) com cosine\_beta\_schedule

3 Componentes da arquitetura

- Agendamento coseno[2]:

$$\bar{\alpha}_s = \cos^2\left(\frac{\frac{s}{S} + \delta}{1 + \delta} \frac{\pi}{2}\right), \quad \beta_s = 1 - \frac{\bar{\alpha}_s}{\bar{\alpha}_{s-1}}, \quad \alpha_s = 1 - \beta_s$$
$$\bar{\alpha}_s = \prod_{k=1}^s \alpha_k$$

- Forward (difusão) em um passo  $s$ :

$$\mathbf{h}_s = \sqrt{\bar{\alpha}_s} \mathbf{h}_0 + \sqrt{1 - \bar{\alpha}_s} \boldsymbol{\epsilon}, \quad \boldsymbol{\epsilon} \sim \mathcal{N}(0, \mathbf{I})$$

- Reverse (denoising) — atualização ancestral ( $\sigma_t^2 = \beta_t$ ):

$$\mathbf{h}_{s-1} = \frac{1}{\sqrt{\bar{\alpha}_s}} \left( \mathbf{h}_s - \frac{1 - \alpha_s}{\sqrt{1 - \bar{\alpha}_s}} \hat{\boldsymbol{\epsilon}}_\theta(\mathbf{h}_s, s) \right) + \sigma_s \boldsymbol{\xi}, \quad \boldsymbol{\xi} \sim \mathcal{N}(0, \mathbf{I})$$



# Embedding do Passo de Difusão

## 3 Componentes da arquitetura

- **Objetivo:** representar o passo de difusão  $s \in \{0, \dots, S - 1\}$  em um espaço vetorial contínuo de dimensão  $D$ .
- **Codificação sinusoidal (estilo Vaswani et al.[3]):**

$$\text{emb}(s) = \left[ \sin\left(\frac{s}{10000^{2k/D}}\right), \cos\left(\frac{s}{10000^{2k/D}}\right) \right]_{k=0}^{D/2-1}$$

- **Projeção linear:**

$$\mathbf{t}_s = W_{\text{proj}} \text{emb}(s) + b_{\text{proj}} \quad \Rightarrow \quad \mathbf{t}_s \in \mathbb{R}^D$$

- **Intuição:**
  - Frequências log-espalhadas garantem **resolução alta em passos pequenos e suavidade em passos maiores.**
  - Projeção linear adapta o embedding ao espaço latente do modelo.
- **Uso no modelo:**  $\mathbf{t}_s$  é somado a  $h$  (estado do encoder) e também usado como entrada do FiLM para modular o embedding temporal contínuo.



# FiLM: Feature-wise Linear Modulation no Tempo

## 3 Componentes da arquitetura

- **Objetivo:** condicionar o estado latente  $h$  usando a informação de tempo contínuo, de forma **suave** e **diferenciável**.
- **Processo (no TSDiffusion[1] adaptado):**

$$\mathbf{g}_s = \text{MLP}_{\text{FiLM}}(\mathbf{t}_s) \quad \Rightarrow \quad (\gamma_s, \beta_s) = \text{split}(\mathbf{g}_s)$$
$$\tilde{\mathbf{e}}_t = (1 + \gamma_s) \odot \mathbf{e}_t + \beta_s$$

onde  $\mathbf{e}_t$  é o embedding de tempo contínuo e  $\odot$  denota produto elemento a elemento.

- **Intuição:**
  - $\gamma_s$  aplica **ganho dinâmico** (reescala a importância das dimensões).
  - $\beta_s$  aplica **deslocamento** (ajusta o centro das features no tempo).
- **Justificativa de uso:**
  - Permite ao modelo **modular** a representação em função do passo de difusão  $s$  e do tempo contínuo.
  - Melhora a **consistência temporal**, tornando o aprendizado mais estável (evita sobre/under-weighting em regiões de alta ou baixa incerteza).



# Noise Head

## 3 Componentes da arquitetura

- **Noise Head ( $\hat{\varepsilon}_t$ ):**  
Prediz o **ruído gaussiano** adicionado no passo  $s$  da difusão.

$$\hat{\varepsilon}_s = \text{MLP}_{\varepsilon}(h_s)$$

Serve para estimar o ruído a ser removido na etapa de *denoising*:

$$\mu_{\theta}(h_s, s) = \frac{1}{\sqrt{\alpha_s}} \left( h_s - \frac{1 - \alpha_s}{\sqrt{1 - \bar{\alpha}_s}} \hat{\varepsilon}_s \right)$$

Garante reconstrução consistente do estado latente  $h_{s-1}$ .

# Lambda Head — Medida de Confiança

## 3 Componentes da arquitetura

- **Lambda Head ( $\hat{\lambda}_t$ ):**

Prediz o **grau de confiança** que o modelo tem sobre sua própria predição  $\hat{x}_t$  naquele timestep — funciona como um **estimador de incerteza local**.

$$\hat{\lambda}_t = \text{softplus}(W_\lambda h_t + b_\lambda)$$

- **Interpretação:**

- $\hat{\lambda}_t$  alto: rede está **segura** de que a predição  $\hat{x}_t$  é confiável.
- $\hat{\lambda}_t$  baixo: rede sinaliza **alta incerteza**, sugerindo cautela na interpretação de  $\hat{x}_t$ .

- **Uso prático:**

- Permite **ponderar a loss** (dar mais peso a predições confiáveis).
- Pode ser visualizado como um **mapa de confiança** sobre a série reconstruída.



# Função de Perda — TSDiffusion[1] (adaptada)

## 3 Componentes da arquitetura

- L1 — NLL Gaussiano ponderado por  $\hat{\lambda}_t$  (em todos os canais):

$$\text{sse}_t = \sum_c (\hat{x}_{t,c} - x_{t,c})^2, \quad \hat{\lambda}_t = \text{softplus}(W_\lambda h_t + b_\lambda)$$

$$\log p(x_t | h_t) = -\frac{1}{2} \hat{\lambda}_t \text{sse}_t + \frac{1}{2} n \log \hat{\lambda}_t - \frac{1}{2} n \log(2\pi)$$

$$\mathcal{L}_1 = - \sum_t \log p(x_t | h_t)$$

- L2 — Denoising no latente (ruído):

$$\mathcal{L}_2 = \sum_{t,d} \left\| \text{noise\_head}(h_{t,d}) - \epsilon_{t,d} \right\|_2^2$$

- L4 — Missingness por timestep (Bernoulli)
- Função de perda combinada:

$$\mathcal{L} = \lambda_1 \mathcal{L}_1 + \lambda_2 \mathcal{L}_2 + \lambda_4 \mathcal{L}_4$$

# Melhor configuração com cross validation até 100 épocas

## 4 Validação

**Tabela:** Melhor resultado (entre 8, 16 e 32 dimensões por canal).

Configuração	macro-MSE ↓	micro-MSE ↓
8 dimensões	<b><math>204.289083 \pm 203.480588</math></b>	<b><math>1.759255 \pm 0.590695</math></b>
16 dimensões	<b><math>1.112684 \pm 0.414279</math></b>	<b><math>0.786424 \pm 0.070351</math></b>
32 dimensões	<b><math>0.556403 \pm 0.361469</math></b>	<b><math>0.716240 \pm 0.063003</math></b>

**Tabela:** Melhor resultado (entre 2, 4 e 6 camadas de Transformers).

Configuração	macro-MSE ↓	micro-MSE ↓
2 camadas	<b><math>1.731701 \pm 0.958092</math></b>	<b><math>0.758033 \pm 0.067674</math></b>
4 camadas	<b><math>1.378706 \pm 0.636514</math></b>	<b><math>0.752427 \pm 0.065560</math></b>
6 camadas	<b><math>0.670777 \pm 0.313602</math></b>	<b><math>0.721729 \pm 0.064226</math></b>

# Melhor configuração com cross validation até 100 épocas

## 4 Validação

**Tabela:** Melhor resultado (entre 2, 4 e 8 cabeças de Atenção).

Configuração	macro-MSE ↓	micro-MSE ↓
2 cabeças	$0.838581 \pm 0.286205$	$0.746875 \pm 0.063159$
8 cabeças	$0.690819 \pm 0.346612$	$0.765505 \pm 0.066242$
4 cabeças	$0.594687 \pm 0.357233$	$0.723179 \pm 0.059632$

**Tabela:** Melhor resultado (entre 50, 100 e 150 passos de denoising).

Configuração	macro-MSE ↓	micro-MSE ↓
150 passos	$0.025409 \pm 0.016501$	$0.026400 \pm 0.010262$
100 passos	$0.018939 \pm 0.016202$	$0.023044 \pm 0.008627$
50 passos	$0.018255 \pm 0.016645$	$0.022559 \pm 0.009060$



# Resultados aplicando arquitetura TSDiffusion com função de perda adaptada ( $\mathcal{L}_2$ )

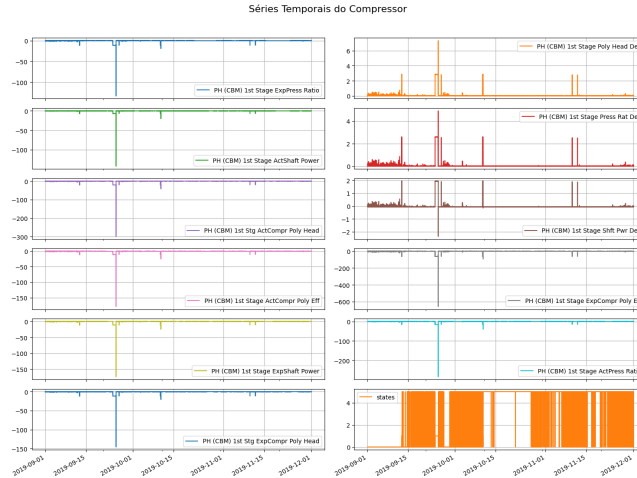
## 5 Resultados Denoising

Tabela: Melhor resultado após 65 épocas de treinamento

macro-MSE	micro-MSE
$0.070653 \pm 0.002102$	$0.068604 \pm 0.000826$

# Série temporal limpa de ruído gaussiano (ruído branco)

## 5 Resultados Denoising



# Comparação das arquiteturas

6 Resultados

Tabela: Resultados por modelo

Modelo	macro-MSE	micro-MSE
ODEJump (baseline)	$0.291084 \pm 0.163770$	$0.331472 \pm 0.025534$
ODEJump + Transformers	$0.371475 \pm 0.147604$	$0.337681 \pm 0.035874$
ODEJump com denoising	$0.343405 \pm 0.135264$	$0.308247 \pm 0.026885$
ODEJump + Transformers com denoising	$0.260986 \pm 0.160533$	$0.323708 \pm 0.025023$

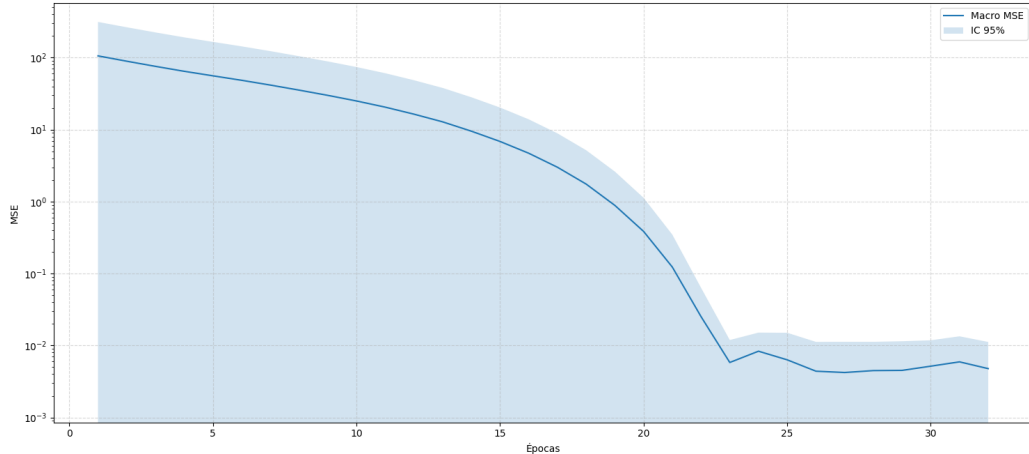
Tabela: Resultado com entrada somente denoised

Modelo	macro-MSE	micro-MSE
ODEJump + Transformers somente com denoising	$0.004218 \pm 0.003596$	$0.005153 \pm 0.002070$

# Evolução do treinamento

## 6 Resultados

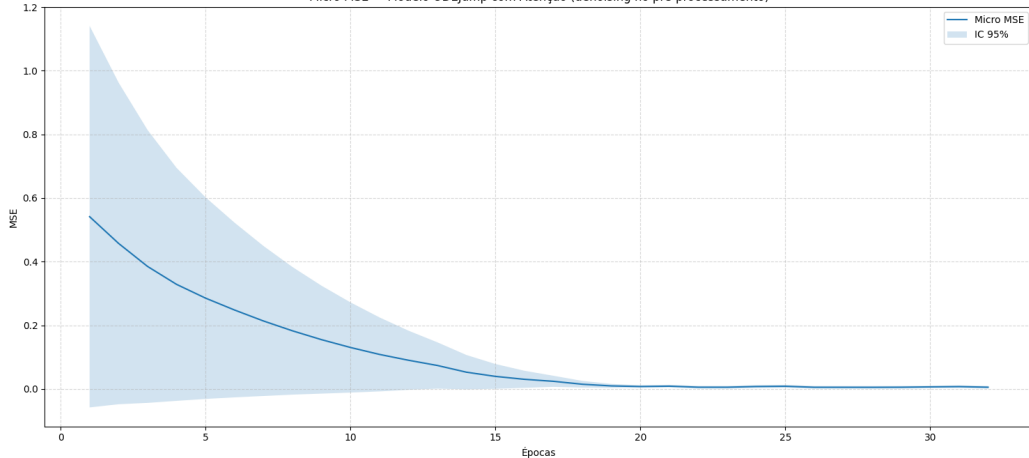
Macro MSE — Modelo ODEJump com Atenção (denoising no pré-processamento)



# Evolução do treinamento

## 6 Resultados

Micro MSE — Modelo ODEJump com Atenção (denoising no pré-processamento)





# Conclusões

## 7 Conclusões

- **Arquitetura:** o pipeline **Encoder ODEJump** (dinâmica contínua + saltos GRU) → **Transformer** (atenção temporal) → **TSDiffusion** (denoiser gaussiano) mostrou-se **eficaz** para séries irregulares e com faltas.
- **Codificações de tempo:** o **TimeHybrid Encoding + FiLM** estabilizou o aprendizado ao modular a representação temporal de acordo com o passo de difusão e o tempo contínuo.
- **Cabeças auxiliares:**
  - **Noise Head** melhorou o *denoising* no latente (consistência com o passo reverso do DDPM).
  - **Miss Head** regularizou a *missingness*, ajudando a reconstrução apenas onde havia alvo.
  - **Lambda Head** forneceu um **mapa de confiança** por timestep, útil para ponderar erros e interpretação.
- **Balanceamento:** a agregação dos estados {1,2,3,4} em um único grupo e a manutenção de {0} e {5} separadamente reduziram o desbalanceamento e facilitaram o **oversampling** estratificado no treino.
- **Resultados:** a combinação com **entrada denoised** alcançou **macro-MSE** e **micro-MSE** baixos, com melhora consistente ao aumentar a capacidade (dimensão/camadas) até um patamar de saturação.



# Limitações e Trabalhos Futuros

## 7 Conclusões

- Limitações:
  - Sensibilidade a **hiperparâmetros** (nº de passos de denoising, dimensão por canal, camadas/heads).
  - **Estados raros**: mesmo com agregação, a incerteza permanece alta onde há poucos exemplos; o **SE macro** reflete variação entre grupos.
  - Modelo se limitou a desenvolver um preditor gerativo, não tendo como alvo previsões de **mudança de estado**.
- Extensões:
  - **Avaliação de probabilidade de mudança de estado no tempo**: Implementar mecanismo de previsão de mudança de estado calibrado pelo nível de certeza.
  - **Diffusion guiado** por priors físicos/operacionais do equipamento (consistência de limites e balanços).
  - **Uncertainty-aware decoding**: ponderar reconstruções por  $\hat{\lambda}_t$  e calibrar incertezas (p. ex., *temperature scaling*).



# Referências Bibliográficas

## 8 Referências Bibliográficas

- [1] Y. Li, "Ts-diffusion: Generating highly complex time series with diffusion models," *arXiv preprint arXiv:2311.03303*, 2023.
- [2] A. Nichol and P. Dhariwal, "Improved denoising diffusion probabilistic models," 2021.
- [3] A. Vaswani, N. Shazeer, N. Parmar, J. Uszkoreit, L. Jones, A. N. Gomez, L. Kaiser, and I. Polosukhin, "Attention is all you need," in *Advances in Neural Information Processing Systems*, vol. 30, 2017.